

# RELATYWNE HOMOMORFIZMY INDUKOWANE

Niech  $A \subset X$ ,  $B \subset Y$ :  $f: X \rightarrow Y$  ciągłe.

Mówiąc że  $f: (X, A) \rightarrow (Y, B)$  jest ciągły odwzorowaniem powiedzmy ponadto  $f(A) \subset B$ .

Takie  $f: (X, A) \rightarrow (Y, B)$  indukuje homomorfizmy

$$f_{\#} = f_{\#}^{\text{rel}}: C_n(X, A) \rightarrow C_n(Y, B)$$

ponieważ zbiór homomorfizmów  $f_{\#}: C_n X \rightarrow C_n Y$  odwzorowuje podgrupy  $C_n A \subset C_n X$  w podgrupy  $C_n B \subset C_n Y$ .

Zadane są one formułacją  $f_{\#}^{\text{rel}}([\alpha]) = [f_{\#}(\alpha)]$ ,

gdzie  $[\ ]$  oznacza tu obraz przez  $C_n X \rightarrow C_n X/C_n A : C_n Y \rightarrow C_n Y/C_n B$ .

Zestawień tych zwierzących  $f_{\#}^{\text{rel}} \circ \partial^{\text{rel}} = \partial^{\text{rel}} f_{\#}^{\text{rel}}$ , gdzie

$\partial^{\text{rel}}: C_n(X, A) \rightarrow C_{n-1}(X, A)$  jest podobnie zadane przez  $\partial^{\text{rel}}([\alpha]) = [\partial(\alpha)]$ , - ponieważ mamy

$$\begin{aligned} f_{\#}^{\text{rel}} \circ \partial^{\text{rel}}([\alpha]) &= f_{\#}^{\text{rel}} [\partial(\alpha)] = [f_{\#} \partial(\alpha)] = [\partial f_{\#}(\alpha)] = \\ &= \partial^{\text{rel}} [f_{\#}(\alpha)] = \partial^{\text{rel}} f_{\#}^{\text{rel}}([\alpha]). \end{aligned}$$

Zatem  $f_{\#}^{\text{rel}}: C_*(X, A) \rightarrow C_*(Y, B)$  jest odwzorowaniem

Twierdzonym. Stąd indukuje ono homomorfizmy homologii

$$f_*: H_n(X, A) \rightarrow H_n(Y, B) \quad \text{wyznacza}$$

$$f_*([c]) = [f_{\#}^{\text{rel}}(c)], \quad \begin{cases} \text{(gdzie tensor } [\ ] \text{ oznacza)} \\ \text{(klasy homologii cyklicznej)} \end{cases}$$

**FAKT.** Jeśli odwzorowanie  $f, g : (X, A) \rightarrow (Y, B)$  są homotopiję poprzez odwzorowanie par  $(X, A) \rightarrow (Y, B)$  to  $f_* = g_* : H_n(X, A) \rightarrow H_n(Y, B)$ .

Dowód: Niech  $F : X \times [0, 1] \rightarrow Y$  homotopia  $f \sim g$  j.w.

Wówczas operator przyjazny  $P : C_n X \rightarrow C_{n+1}(X \times [0, 1])$  złożony z homomorfizmów  $F\# : C_{n+1}(X \times I) \rightarrow C_{n+1} Y$ ,  $F \# P : C_n X \rightarrow C_{n+1} Y$ ,

odwzorowuje  $C_n A \subset C_n X$  w  $C_{n+1} B \subset C_{n+1} Y$ , a więc indukuje

$$(F \# P)^{\text{rel}} : C_n(X, A) \rightarrow C_{n+1}(Y, B).$$

Rozważmy sprawdzenie się, i.e. zadostoi:

$$\partial^{\text{rel}} (F \# P)^{\text{rel}} + (F \# P)^{\text{rel}} \partial^{\text{rel}} = g^{\text{rel}} - f^{\text{rel}}$$

a więc  $F \# P$  jest homotopią Tarczowską pomiędzy  $f^{\text{rel}}$  i  $g^{\text{rel}}$ .

Stąd tzw. FAKTU.  $\square$

OBSERWACJA. Jeśli  $BCA \subset X$  to mamy następujący krótki ciąg skrócony relatywnego kompleksu singularnych Torusów

$$0 \rightarrow C_n(A, B) \xrightarrow{\alpha} C_n(X, B) \xrightarrow{\beta} C_n(X, A) \rightarrow 0$$

"      "      "

$$C_n A / C_n B \quad C_n X / C_n B \quad C_n X / C_n A$$

indukowane przez wcielenie  $\rho_{X/A}$ , a nie  $\rho_X$

Odwołanie  $\alpha$ :  $\beta \circ \alpha$  siedzie poniżej:  $\alpha(a + C_n B) = a + C_n B$ ,

$$\beta(a + C_n B) = a + C_n A.$$

- Dokładność wierszy dla ustalonego  $n$  to rutynowe algorytmy grup obiegowych.

- Kontakcie z  $\partial v$  to bezpośrednie sprawdzenie:

np. dla  $a \in C_n A$  mamy  $a + C_n B \in C_n A / C_n B$  mamy

$$\partial v \alpha(a + C_n B) = \partial v \alpha(a + C_n B) = \alpha(a) + C_{n-1} B$$

$$\alpha \partial v(a + C_n B) = \alpha(\partial(a) + C_{n-1} B) = \partial a + C_{n-1} B.$$

ZNIOSEK. Skonstruując algorytm homologiczny otrzymujemy albo ciąg skrócony trójki  $BCA \subset X$ :

$$\dots \rightarrow H_n(A, B) \xrightarrow{\alpha_*} H_n(X, B) \xrightarrow{\beta_*} H_n(X, A) \xrightarrow{\partial} H_{n-1}(A, B) \rightarrow \dots$$

Nietrudno si myslit, že homomorfizm dostačuje

$\partial: H_n(X, A) \rightarrow H_{n-1}(A, B)$  me následující pořadí.

Jesli  $c \in C_n(X, A)$  ještě reprezentuje cyklus

(reprezentovaný přes řezech  $c_0 \in C_{n-1}X$  tak, že  $\partial c_0 \in C_n A$ )

tak výsledného tlu,  $\partial c = c_0 + C_n A$

$$\text{tj } \partial [c]_{H_n(X, A)} := [\partial(c)]_{H_{n-1}(A, B)} = [\partial c_0 + C_n A]_{H_{n-1}(A, B)}$$

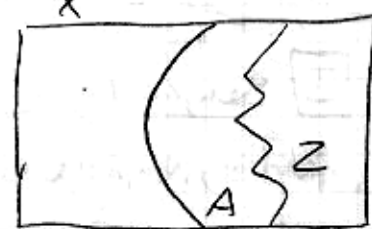
## TWIERDZENIE O WYCINANIU.

Tw. Niech  $Z \subset A \subset X$ , gdzie  $\text{cl}(Z) \subset \text{int } A$ .

Wówczas włączenie  $(X \setminus Z, A \setminus Z) \xrightarrow{i} (X, A)$

indukuje izomorfizm  $H_n(X \setminus Z, A \setminus Z) \rightarrow H_n(X, A)$

dla każdego  $n$ .

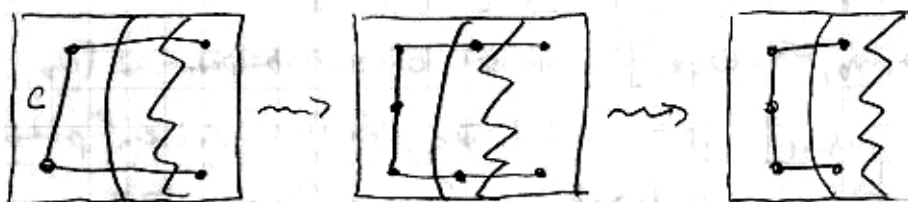


RÓWNOWAŻNE SFORMUŁOWANIE.  $A, B \subset X$ ,  $\text{int } A \cup \text{int } B = X (= A \cup B)$ .

Wówczas  $(B, A \cap B) \rightarrow (X, A)$  indukuje izom. fuz.  $H_n(B, A \cap B) \rightarrow H_n(X, A)$ .

$$\left[ \begin{array}{l} A := A, B := X \setminus Z \end{array} \right]$$

INTUICJA: Konstruując  $\beta: H_n(X, A) \rightarrow H_n(X \setminus Z, A \setminus Z)$



rozdzielniczy  
(bezcentryczne  
podzbiorów)

obcinany

Rozdzielnicie:

- [metryczne] ai średnice singularnych sympleksów do której należą
- [topologiczne] ai singularne sympleksy mają obwory zawarte w zbiorach  $U$  pewnego ostateczego podzbioru  $U$  przestrzeni  $X$ .

$X$  przestrzeń top.,  $\mathcal{U} = \{U_j\}$  rodzinie podzbiorów t.j.  $\text{int } U_j\}$  pit pełnym  $X$ ,

$$C_n^U X \subset C_n X : C_n^U X = \left\{ \sum n_i \sigma_i \in C_n X : \forall i \exists j \text{ im } \sigma_i \subset U_j \right\}.$$

Obciście  $\partial: C_n X \rightarrow C_{n-1} X$  do  $C_n^U X$  daje  $\partial: C_n^U X \rightarrow C_{n-1}^U X$ .

Dostajemy kompleks Tenckiewicza  $C_*^U X$ . Jego homologiczne określamy  $H_*^U X$ .  
(o rozdzielniczości)

STWIERDZENIE. Włączenie  $i: C_*^U X \rightarrow C_* X$  jest Tenckiewiczowską

homotopijną równowartością. Dalszej, istnieje odwrotnienie

Tenckiewicze  $\beta: C_* X \rightarrow C_*^U X$  takie, iż złączenie  $\beta \circ i$  oraz  $i \circ \beta$

jest Tenckiewiczo homotopijne z identycznością. W szczególności

$i: C_*^U X \rightarrow C_* X$  indukuje izomorfizm  $i_*: H_*^U X \rightarrow H_* X$  homologii.

Powód [4 etapy]:

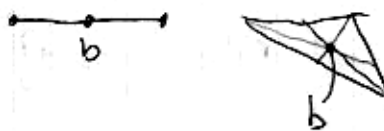
### I Barycentryczne podniesienie sympleksów liniowych

- liniowy sympleks  $n$ -wymiarowy  $[v_0, \dots, v_n] \subset \mathbb{R}^m$  to

$$\left\{ \sum_{i=0}^n t_i v_i : \sum t_i = 1, t_i \geq 0 \right\}, \text{ gdzie } v_1 - v_0, \dots, v_n - v_0 \text{ lin. niezależne.}$$

- ściany generowane przez podstawy zbiuru  $v_0, \dots, v_n$  nazywane są sympleksami liniowymi.

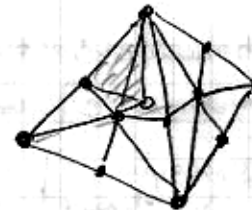
- barycentrum sympleksu  $[v_0, \dots, v_n]$  to punkt  $b = \frac{1}{n+1} \sum_i v_i$  ( $t_i = \frac{1}{n+1} \forall i$ )



- barycentryczny podniot sympleksu  $[v_0, \dots, v_n]$  to podniot na  $n$ -sympleksu postaci  $[b, w_0, \dots, w_{n-1}]$  gdzie  $b$  jest barycentrum  $[v_0, \dots, v_n]$  zaś  $[w_0, \dots, w_{n-1}]$  jest, indukcyjnie,  $(n-1)$ -sympleksem podniesionym barycentrycznego pierścienia  $\widehat{[v_0, \dots, v_n]}$  sympleksu  $[v_0, \dots, v_n]$ . Indukcja zaczyna się dla  $n=0$ , gdzie barycentryczny podniot  $[v_0]$  jest pojedynczym sympleksem  $[v_0]$ .

Z tej indukcyjnej definicji wynika, że

sympleks  $[w_0, \dots, w_n]$  podniesiony barycentrycznie



sympleksu  $[v_0, \dots, v_n]$  ma zasadę kongruencji postaci:

istnieje permutacja  $v_{i_0}, \dots, v_{i_n}$  wierzchołków  $v_0, \dots, v_n$  t.z. że

wysokość  $w_k$  jest barycentrum ściany  $[v_{i_0}, \dots, v_{i_k}]$  sympleksu  $[v_0, \dots, v_n]$

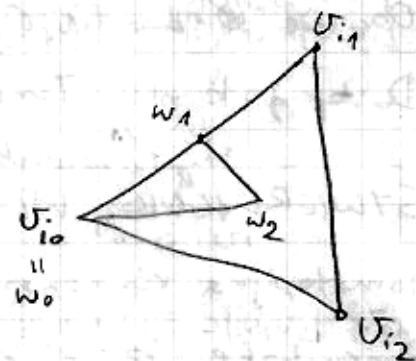
**FAKTO.** Sympleksy podniesione barycentrycznie

wzajemnie swiadcza swoimi ścianami tworzą

kopleks sympleksowy, tedy

triangulację wyjściowego sympleksu.

[bez dwuodn. ]



FAKT 1. Sympleksy bęgące węgo podstetu  $n$ -sympleksu mnożącego o średnicę  $\leq \frac{n}{n+1} \operatorname{diam}(\sigma)$

$$\begin{aligned} 1^{\circ} \operatorname{diam} [v_0, \dots, v_n] &= \max |v_i - v_j| \text{ bo dla } v, \sum_i v_i \in [v_0, \dots, v_n] \\ \text{mamy } |v - \sum_i v_i| &= |\sum_i (v - v_i)| \leq \sum_i |v - v_i| \leq \sum_i \max |v - v_i| = \\ &= \max |v - v_i| \end{aligned}$$

Ponieważ to dla  $v = \sum_i v_i$  dośćpom.

$$|\sum_i s_i v_i - \sum_i t_i v_i| \leq \max_{i,j} |v_i - v_j| \quad \square$$

2<sup>o</sup> Nied  $\sigma' = [w_0, \dots, w_n]$  będzie sympleksem podstetu bęgącego.

sympleks  $[v_0, \dots, v_n]$ , przy czym  $w_0 = b$  jest bęgcentrum

(A) Jeżeli  $\operatorname{diam} \sigma' = |w_i - w_j|$  dla  $i \neq 0, j \neq 0$

to  $w_i, w_j$  są wierzchołkami bęgącego podstetu parę ściany

$T = [v_0, \dots, \hat{v}_i, \dots, v_n]$  sympleks  $\sigma$

Wtedy, z założenia,  $|w_i - w_j| \leq \frac{n-1}{n} \operatorname{diam}(T)$ .

Ale  $\operatorname{diam}(T) \leq \operatorname{diam}(\sigma)$  oraz  $\frac{n-1}{n} < \frac{n}{n+1}$ , stąd

$$\operatorname{diam}(\sigma') \leq |w_i - w_j| < \frac{n}{n+1} \operatorname{diam}(\sigma).$$

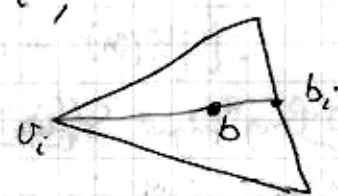
(B) Rozważmy przypadek gdy

$$\operatorname{diam} \sigma' = |w_0 - w_j| = |b - w_j|$$

Ponieważ dany obrazem jest drugi sympleks podstetu,

i ponieważ  $|b - w_j| \leq |b - v_i|$  dla pewnego  $i$ ,

mamy przyjąć  $w_j = v_i$  i szacować  $|b - v_i|$ .



Nied  $b$  bęgcentrum ściany  $[v_0, \hat{v}_i, \dots, v_n]$

$$\text{Wtedy } b = \frac{1}{n+1} v_0 + \frac{n}{n+1} b_i$$

$$\text{a zatem } |b - v_i| \leq \frac{n}{n+1} |b_i - v_i| \leq \frac{n}{n+1} \operatorname{diam}(\sigma). \quad \square$$

UWAGA. FAKT 1 będzie działał mamy w zakresie do r-hatysa iteracji bęgącego podstetu. Średnice sympleksu  $r$ -tego bęgącego podstetu dla  $r \rightarrow \infty$  do góry skracane przez  $(\frac{n}{n+1})^r \cdot \operatorname{diam}(\sigma)$ , gdzie  $n = \operatorname{dim}(\sigma)$ .

## II Barycentryczne podwzględzie linijnych Tonicha

$E$  przestrzeń liniowa (cośniej, wypukły podzbiór w przestrzeni liniowej)

liniowe sympleksy  $\sigma: \Delta^n \rightarrow E$ ,  $\sigma(\Sigma_{t,e_i}) = \Sigma_{t;v_i}$

alla parze  $v_0, \dots, v_n \in E$

ozn.  $[v_0, \dots, v_n]$

$LC_n(E)$  liniowe Tonicha w  $E$ ,  $LC_n(E) \subset C_n E$

$\partial: LC_n(E) \rightarrow LC_{n-1}(E)$

$LC_{-1}(Y) = \mathbb{Z}, \partial[v_0] = 0$

$LC_*(E)$  kategorii Tonicha

\* dla każdego  $b \in E$  normaty homomorfizm skracania  $b: LC_n(E) \rightarrow LC_{n+1}(E)$

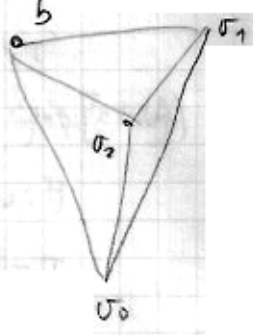
przez  $b[v_0, \dots, v_n] = [b, v_0, \dots, v_n]$ . Ten homomorfizm spełnia,

$$\partial b[v_0, \dots, v_n] = [v_0, \dots, v_n] - b(\partial[v_0, \dots, v_n])$$

a więc  $\circ$  (mocności mamy)

$$\partial b(x) = x - b(\partial x) \quad \text{dla każdego } x \in LC_n(E).$$

Mamy więc  $\partial b = id - b\partial$



[UWAGA:  $b$  jest homotopią Tonicha, mamy  $id$  our odwzorowanie zerujące]

\* teraz określmy indukującą homomorfizm podwzględzie

$S: LC_n(E) \rightarrow LC_n(E)$ .

Niech  $\gamma: \Delta^n \rightarrow E$  liniowy sympleks,  $b_\gamma$  - obraz barycentru  $\Delta^n$  przez  $\gamma$   
(czyli barycentr obrazu  $\gamma(\Delta^n)$ )

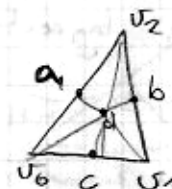
Indukcyjne formuła na  $S$ :

$$S(\gamma) = b_\gamma(S(\partial\gamma))$$

Przy czym  $S([v_0]) = [v_0]$ .

$$S(v_0) = b(v_1) - b(v_0)$$

$$S([v_0, v_1]) = -[b, v_0] + [b, v_1]$$



$$S(\partial[v_0, v_1, v_2]) = S([v_1, v_2] - [v_0, v_2] + [v_0, v_1])$$

$$= -[b, v_1] + [b, v_2] + [a_1, v_0] - [a_1, v_2] \\ - [b, v_0] + [c, v_2]$$

$$S[v_0, v_1, v_2] = -[d, b, v_1] + [d, b, v_2] + [d, a_1, v_0] - \dots$$

\* Sprawdzenie, że  $S: LC_n(E) \rightarrow LC_n(E)$  jest odwzorowaniem Taniczącym, tzn  $\partial S = S\partial$ .

Indukcja po n

dla  $n=0$   $S: LC_0(E) \rightarrow LC_0(E)$  jest identycznością, więc OK.

dla  $n=1$

$$\partial S [v_0, v_1] = \partial(-[bv_0] + [bv_1]) = b - v_0 + v_1 - b = v_1 - v_0$$

$$S\partial [v_0, v_1] = S(v_1 - v_0) = v_1 - v_0$$

dla  $n > 1$  ziel  $\lambda: \Delta^n \rightarrow E$

$$\partial S\lambda = \partial(b_\lambda(S\lambda)) \quad [\partial b_\lambda = 1 - b_\lambda\partial]$$

$$= S\partial\lambda - b_\lambda\partial S\lambda \quad [\partial\lambda \in LC_{n-1}(E) \text{ więc } \text{indukcyjnie } \partial S = S\partial \text{ na } \partial\lambda]$$

$$= S\partial\lambda - b_\lambda\partial S\lambda \quad [\partial\lambda = 0]$$

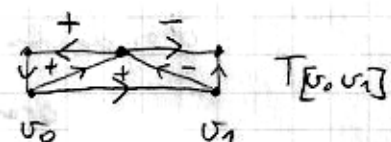
$$= S\partial\lambda \quad \square$$

\* Określenie homotopii Taniczącej  $T: LC_*(E) \rightarrow LC_{*+1}(E)$

homotopią odwzorowania podprzyjęcia  $S$  oraz identyczności  $id$

$$T: LC_0(E) \rightarrow LC_1(E) \quad T[v_0] = [v_0, v_1]$$

$$T\lambda = b_\lambda(\lambda - T\lambda) \quad \text{dla } n = \dim\lambda > 0$$



Dowodzimy wzoru

$$\partial T = id - S - T\partial$$

dla  $n=0$

$$\partial T[v_0] = 0, \quad T\partial[v_0] = 0, \quad id = S \quad \text{OK.}$$

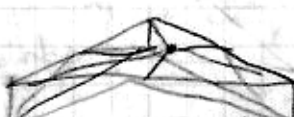
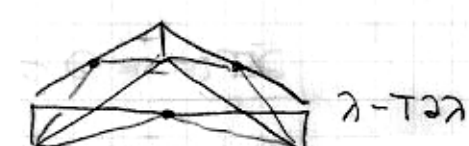
dla  $n > 0$

$$\partial T\lambda = \partial(b_\lambda(\lambda - T\lambda)) \quad [\partial b_\lambda = id - b_\lambda\partial]$$

$$= \lambda - T\lambda - b_\lambda(\partial\lambda - T\lambda) =$$

$$= \lambda - T\lambda - b_\lambda(\partial\lambda - \partial T\lambda) = \quad [\partial\lambda = T\lambda + S \text{ inducyjnie}]$$

$$= \lambda - T\lambda - S\lambda \quad [\partial\lambda = T\lambda + S\lambda + T\lambda] = \quad [\partial\lambda = 0, b_\lambda S\lambda = S\lambda]$$



$$T[v_0, v_1, v_2, v_3]$$

### III Banachowskie podobieństwo Teicchmiera singularnych

- twierdzenie  $\Delta^n$  jako liniowy zanurzony  $w E = \mathbb{R}^{n+1}$   
i uzupełniany go z odwzorowaniem  $id_{\mathbb{R}^n}$  w siebie

- Wtedy  $S\Delta^n$  jest liniowym Teicchmierem o obrazie w  $\Delta^n$

- dla singularnego sympleksu  $\sigma: \Delta^n \rightarrow X$  określamy

$$S\sigma := \sigma \# S\Delta^n \quad ; \text{ rozszerzamy liniowo do } S: C_n X \rightarrow C_n X$$

- $S: C_n X \rightarrow C_n X$  jest odwzorowaniem Teicchmiera, bo

$$\begin{aligned} \partial S(\sigma) &= \partial \sigma \# S\Delta^n = \sigma \# \partial S\Delta^n = \sigma \# S \partial \Delta^n \\ &= \sigma \# S \sum_i (-1)^i \Delta_i \quad \left\{ \begin{array}{l} \text{gdzie } \Delta^n = [e_0, \dots, e_n] \text{ to} \\ \Delta_i: \Delta^{n-i} \rightarrow [e_0, \dots, \hat{e}_i, \dots, e_n] \end{array} \right. \end{aligned}$$

$$\begin{aligned} &= \sum_i (-1)^i \sigma \# S \Delta_i \quad [\text{def } S\sigma] \quad \left. \begin{array}{l} \Delta_i(e_j) = e_j \text{ dla } j < i \\ = e_{j+1} \text{ dla } j > i \end{array} \right\} \end{aligned}$$

$$= \sum_i (-1)^i S(\sigma \cdot \Delta_i) =$$

$$= S\left(\sum_i (-1)^i \sigma \cdot \Delta_i\right) = S(\partial \sigma) \quad \square$$

- Podobnie określamy  $T: C_* X \rightarrow C_{*-1} X$  poprzez

$$T\sigma = \sigma \# T\Delta^n$$

czyli dwukrotnie uzupełniamy konstrukcję Teicchmiera poprzez  $S: C_{*-1} X \rightarrow C_* X$

czyli id w  $C_* X$ :

$$[ \text{czyli } \text{id} \circ \partial T = \text{id} - S \circ T \partial ]$$

$$\partial T\sigma = \partial \sigma \# T\Delta^n = \sigma \# \partial T\Delta^n = \sigma \# (\Delta^n - S\Delta^n - T\partial \Delta^n) =$$

$$= \sigma - S\sigma - \sigma \# T\partial \Delta^n = \sigma - S\sigma - T(\partial \sigma) \quad \square$$

$$[ \text{gdzie } \sigma \# T\partial \Delta^n = T\partial \sigma$$

dowód: się podobne jak powyżej

$$[ \sigma \# S\partial \Delta^n = S\partial \sigma ]$$

UWAGA. Istnieje operator  $S$  tworzący singularny cyklon  $C$  mówiący

przezwanie homologię z nim cykl  $S^* C$  który należy do  $C_*^U X$ . PROBLEM:

$C_* X \rightarrow C_*^U X$

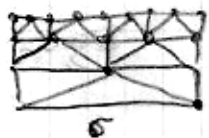
nie jest współne dla wszystkich typów singularnych witecże dla niedziałających

N

iterowane  
Podwojijanie kontrolowane rozmieszczeniem sympleksów

7

- \* operator  $D_m: C_* X \rightarrow C_{*+1} X$  określony przez  $D_m = \sum_{i=0}^{m-1} TS^i$  jest homotopią Tarczową powierzchni  $S^m$  oznaczoną ponownie

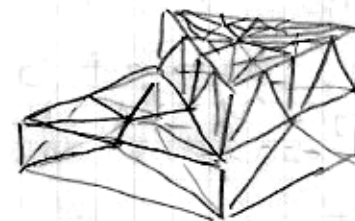
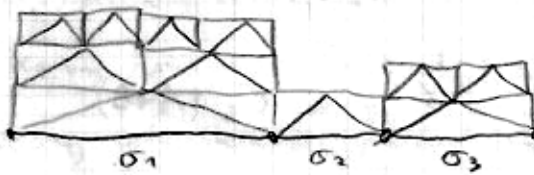


$$\begin{aligned}\partial D_m + D_m \partial &= \sum_{i=0}^{m-1} [\partial TS^i + TS^i \partial] = \sum_{i=0}^{m-1} [\partial TS^i + T \partial S^i] = \\ &= \sum_{i=0}^{m-1} (\partial T + T \partial) S^i = \sum_{i=0}^{m-1} (id - S) S^i = \sum_{i=0}^{m-1} (S^i - S^{i+1}) = id - S^m\end{aligned}\quad \square$$

- \* dla kompleksu sympleksu singularnego  $\sigma \in C_* X$  niech  $m(\sigma)$  będzie najmniejszym  $m \geq 0$  taki że  $D_m \sigma \in C_*^U X$   
(teżże  $m(\sigma)$  istnieje, bo obraz  $\sigma$  jest zwarty, więc jego poligony zblizowane z  $\mathcal{U}$  posiadają dodatnie miary Lebesgue'a  $\lambda$ , więc istnieją zegiżże żądane średnice sympleksów podwyszczyn powyżej  $\lambda$ )

- \* operator kontrolowanego podwojenia  $D: C_0 X \rightarrow C_0 X$

$$D(\sum_i n_i \sigma_i) = \sum_i D_{m(\sigma_i)} \sigma_i$$



- \* struktury operacyjne  $\varrho: C_n X \rightarrow C_n^U X$  dla którego  $D$  jest homotopią Tarczową z identycznością:

$$\begin{aligned}\partial D\sigma + D\partial\sigma &= \partial D_{m(\sigma)} \sigma + D_{m(\sigma)} \partial\sigma - [D_{m(\sigma)} \partial\sigma - D\partial\sigma] = \\ &= \sigma - [S^{m(\sigma)} \sigma + D_{m(\sigma)} \partial\sigma - D\partial\sigma].\end{aligned}$$

Okreslenie  $\varrho(\sigma) = S^{m(\sigma)} \sigma + D_{m(\sigma)} \partial\sigma - D\partial\sigma$

- \*  $\varrho(\sigma) \in C_*^U X$ . Jesteżże  $S^{m(\sigma)} \sigma \in C_*^U X$  (z def.  $n(\sigma)$ ).

Jeliż  $\sigma_j$  (obrazie  $\sigma$  do j-tej ramię  $\sigma$ ) jest dłuższy w  $\partial\sigma$ ,  
to  $m(\sigma_j) \leq m(\sigma)$ . Wtedy  $D_{m(\sigma)} \sigma_j - D\sigma_j = D_{m(\sigma)} \sigma_j - D_{m(\sigma_j)} \sigma_j = \sum_{i=m(\sigma_j)}^{m(\sigma)-1} TS^i(\sigma_j)$ .  $S^i(\sigma_j) \in C_*^U X$  dla  $i \geq m(\sigma_j)$ , zeżże  $T$  przedstawia

$C_*^U X$  w  $C_*^U X$ , więc ostanieżże  $\varrho(\sigma) \in C_*^U X$ .

\* 2 określenie g mamy  $\partial D + D\partial = \text{id} - g$  ali  $g = \text{id} - \partial D - D\partial$  (\*)

$g$  jest odwrotnością Tauchdorfa bo  $\circ = (*)$  wynika

$$\begin{aligned}\partial g \sigma &= \partial g = \partial D \partial \sigma^* - D \partial D \sigma^* = \partial \sigma - \partial D \partial \sigma = (\text{id} - \partial D) \partial \sigma = \\ &= (\text{id} - \partial D - D\partial) \partial \sigma = g \partial \sigma\end{aligned}$$

### Dowód stwierdzenia.

Rozumiemy  $\partial D + D\partial = \text{id} - g$  wtedy też spełnione jest

$$\partial D + D\partial = \text{id} - g$$

gdzie  $\iota: C_*^U X \rightarrow C_* X$  jest kanonicznym uzupełnieniem

Zatem  $g \iota = \text{id}$ .

Zatem  $D$  jest hermitowskim Tauchdorffem  $\text{id} \geq g$

$$\text{zaz } 0 = 1, \quad \text{id} \geq g, \quad \square$$

### Dowód TW o wycinaniu (w wersji o dwóch zbiornikach $A, B$ ):

$(B, A \cap B) \hookrightarrow (X, A)$  indukuje izomorfizm  $H_n(B, A \cap B) \xrightarrow{\sim} H_n(X, A)$ .

Dla poligrafii  $\mathcal{U} = \{A, B\}$  oznaczy  $C_*^U X$  przez  $C_* (A+B)$

Rozważmy diagram:

$$\rightarrow C_{n+1} B / C_{n+1}(B \cap A) \rightarrow C_n B / C_n(B \cap A) \rightarrow C_{n-1} B / C_{n-1}(B \cap A) \rightarrow$$

$$\downarrow x \qquad \qquad \downarrow x \qquad \qquad \downarrow x$$

$$\rightarrow C_{n+1}(B+A) / C_{n+1} A \rightarrow C_n(B+A) / C_n A \rightarrow C_{n-1}(B+A) / C_{n-1} A \rightarrow$$

$$\downarrow \iota \qquad \qquad \downarrow \iota \qquad \qquad \downarrow \iota$$

$$\rightarrow C_{n+1}(B \cup A) / C_{n+1} A \rightarrow C_n(B \cup A) / C_n A \rightarrow C_{n-1}(B \cup A) / C_{n-1} A \rightarrow$$

- $x: C_n B / C_n(B \cap A) \rightarrow C_n(B \cup A) / C_n A$  jest izomorfizmem  $H_n$ ,  
wysiądując izomorfizm  $x_*: H_n(B, B \cap A) \rightarrow H_n(C_n(B \cup A) / C_n A)$
- $\iota$  indukuje izomorfizm  $\iota_*: H_n^U(X, A) \rightarrow H_n^U(X, A)$   
bo  $\iota: C_n(X, A) \rightarrow C_n^U(X, A)$  jest Tauchdorffowa homotopiją odmierzającą dla  $C$
- $\iota x = i: C_n(B, B \cap A) \rightarrow C_n(X, A)$ , więc  $i_* = \iota_* x_*$  jest izo.  $\square$

1 DOBRE PAPEGI I ILORAZY $A \neq \emptyset$ , niepusty, dachisty, over

- $(X, A)$  jest dobrym pary jeśli istnieje otwarte otoczenie  $U \ni A$  w  $X$  powinno jące deformacjami redukować na  $A$ .  
PRZYKŁADY.  $(D^n, \partial D^n = S^{n-1})$ , ( $CW$ -kompleks,  $CW$ -podkompleks)

- FAKT. Dla dobrych par  $(X, A)$  odwzorowanie ilorazowe

$q: (X, A) \rightarrow (X/A, A/A)$  indukuje izomorfizm homologii:

$$q_*: H_n(X, A) \rightarrow H_n(X/A, A/A) \cong \tilde{H}_n(X/A) \text{ dla } n \geq 1.$$

dowód: many komutacyjny

$$\begin{array}{ccccc} H_n(X, A) & \xrightarrow[\{3\}]{[izom]} & H_n(X, V) & \xleftarrow[\{izom\}]{[izom]} & H_n(X/A, V/A) \\ \downarrow q_* & & \downarrow q_* & & \downarrow q_* \quad [izom] \text{ bo obliczanie } q_* \text{ hom} \\ H_n(Y/A, A/A) & \xrightarrow[\{3\}]{[izom]} & H_n(Y/A, V/A) & \xleftarrow[\{izom\}]{[izom]} & H_n(X/A - A/A, V/A - A/A) \end{array}$$

Z ciągu dalszego trójkąta  $(X, V, A)$  mamy

$$H_n(V/A) \rightarrow H_n(X, A) \rightarrow H_n(X, V) \rightarrow H_{n-1}(V/A)$$

z既是 z deformacjami  $V \rightarrow A$  mamy

$$H_*(V/A) = H_*(A, A) = 0.$$

Stąd

$$0 \rightarrow H_n(X, A) \rightarrow H_n(X, V) \rightarrow 0$$

czyli izomorfizm.

$$A \rightarrow B$$

$$\downarrow$$

$$\downarrow$$

$$C \rightarrow D$$

jeśli 3 sa izom, to czwarty też

□

WNIÓSEK. Jeśli  $CW$ -kompleks  $X$  jest sumą podkompleksów  $A, B$ , to indukuje  $(B, A \cap B) \rightarrow (X, A)$  izomorfizm  $H_*(B, A \cap B) \rightarrow H_*(X, A)$ .

dowód: Jeśli  $A \cap B = \emptyset$  to łatwe. Jeżeli nie, to many

$$H_*(B, A \cap B) = \tilde{H}_*(B/A \cap B) = \tilde{H}_*(X/A) = H_*(X, A) \text{ bo } B/A \cap B \cong X/A$$

i wszystkie izomorfizmy są naturalne. □

## (2) LOKALNE GRUPY HOMOLOGII.

**TWIERDZENIE.** Jeśli niepuste otwarte zbioru  $U \subset \mathbb{R}^m$ ,  $v \in \mathbb{R}^n$  są homeomorfne, to  $m = n$ .

dowód: dla  $x \in U$ , z ujemnie, mamy  $H_k(U, U - \{x\}) \cong H_k(\mathbb{R}^m, \mathbb{R}^m - \{x\})$ .

Z tego wynika, że dla dowolnego punktu  $(\mathbb{R}^m, \mathbb{R}^m - \{x\})$  dla k=0, ..., m-1 mamy

$$H_k(\mathbb{R}^m, \mathbb{R}^m - \{x\}) \cong \widetilde{H}_{k+1}(\mathbb{R}^m - \{x\})$$

Z definicji relacji  $\mathbb{R}^m - \{x\}$  na  $S^{m-1}$  mamy  $\widetilde{H}_{k+1}(\mathbb{R}^m - \{x\}) = \widetilde{H}_{k+1}S^{m-1} = \begin{cases} \mathbb{Z} & k=m \\ 0 & k \neq m \end{cases}$

Zatem

$$H_k(U, U - \{x\}) = \begin{cases} \mathbb{Z} & k=m \\ 0 & k \neq m \end{cases}$$

Po tym oznacza, że  $U$  i  $U - \{x\}$  mają taką samą homotopię.

**DEF.** Lokalna grupa homologii  $X$  w  $x$  to  $H_x(X, X - \{x\})$ .

\* Z ujemnie,  $H_x(X, X - \{x\}) = H_x(U, U - \{x\})$

de facto istotny jest wybór otoczenia  $U$  punktu  $x$ , stąd nazwa.

\* Homeo  $f: X \rightarrow Y$  indukuje izomorfizm grup lokalnych

$$H_x(X, X - \{x\}) \rightarrow H_{f(x)}(Y, Y - \{f(x)\}) \quad \forall x$$

\* Lokalne grupy homologii mają wiele właściwości.

- przestrzeń  $\mathbb{R}^n$  ma doliczalną liczbę homeo

- punkt przestrzeni należący do różnych orbit pod

działaniem grupy Homeo( $X$ ) ma skich homeomorfów

**PRZYKŁAD.**  $\mathbb{R}_+^n = \{(x_1, \dots, x_n) : x_i \geq 0\}$ ,  $\partial \mathbb{R}_+^n = \{(x_1, \dots, x_n) : x_i = 0\}$ .

Nie istnieje homeomorfizm  $f: \mathbb{R}_+^n \rightarrow \mathbb{R}_+^n$  który punkt  $x \in \partial \mathbb{R}_+^n$  przypomina w punkcie  $y \notin \partial \mathbb{R}_+^n$ , i nie odwrotnie.

Dla  $x \in \partial \mathbb{R}_+^n$ , mamy

$$H_k(\mathbb{R}_+^n, \mathbb{R}_+^n - \{x\}) \cong \widetilde{H}_{k+1}(\mathbb{R}_+^n - \{x\}) = \widetilde{H}_{k+1}D^{n-1} = 0 \quad \forall k.$$

# NATURALNOŚĆ DŁUGIEGO CIĄGU DOKŁADNEGO

(11)

## ① Dla par przedmiotów.

Jesli  $f: (X, A) \rightarrow (Y, B)$  cięgi to następstwem długiego kompleksu

$$\begin{array}{ccccccc} \rightarrow H_n A & \xrightarrow{i_*} & H_n X & \xrightarrow{j_*} & H_n(X, A) & \xrightarrow{\partial} & H_{n-1} A \rightarrow \\ \downarrow f_* & & \downarrow f_* & & \downarrow f_* & & \downarrow f_* \\ \rightarrow H_n B & \xrightarrow{i'_*} & H_n Y & \xrightarrow{j'_*} & H_n(Y, B) & \xrightarrow{\partial} & H_{n-1} B \rightarrow \end{array}$$

d-d: kiedyż zaniesione i w our ją kompleksy pierwotnie miały

Momentem do homologii, jest indukowany przez zadanego bieganego do Triangułu z  $H_n X$  w  $H_n Y$   
 cykliczne  
 reprezentantem relatywnie

Zatem  $f_*: H_n(X, A) \rightarrow H_n(Y, B)$  jest indukowany przez  $f'_*$  zakończony do Triangułu w  $X$   
 reprezentantem cyklicznie relatywnie.

Ponieważ  $\partial f'_* = f'_* \circ \partial$  nie pierwotnie Triangułu,  
 stąd kompleks kredytu zaniesionego do.  $\square$

## ② W polec. ogólnosci algebraicznej

$$\begin{array}{ccccc} 0 \rightarrow A_* & \rightarrow B_* & \rightarrow C_* & \rightarrow 0 & \text{Kompleks długim} \\ \downarrow \alpha & \downarrow \beta & \downarrow \gamma & & & \text{dwóch kolejnych ciągów} \\ 0 \rightarrow A'_* & \rightarrow B'_* & \rightarrow C'_* & \rightarrow 0 & \text{długości kompleksów} \\ & & & & \text{Triangułów} \end{array}$$

Indukuje kompleks długim ciągiem dłuższym homologii

$$\begin{array}{ccccccc} \rightarrow H_n A & \rightarrow H_n B & \rightarrow H_n C & \xrightarrow{\partial} & H_{n-1} A & \rightarrow \\ \downarrow \alpha_* & \downarrow \beta_* & \downarrow \gamma_* & & \downarrow \alpha_* & & \\ \rightarrow H_n A' & \rightarrow H_n B' & \rightarrow H_n C' & \rightarrow & H_{n-1} A' & \rightarrow & \square \text{ z. w.} \end{array}$$

## ③ Podobnie dla ilorazowania our $f: (X, A) \rightarrow (Y, B)$ dla dwóch obiektów pierwotnych [z. w.]